



توظيف الخوارزمية الجينية في حساب مقدرات توزيع كومر بيتا وبيل الهندسي المعمم

أ.د. انتصار عرببي فدع

منال محمود رشيد

جامعة بغداد/كلية الادارة والاقتصاد/قسم الاحصاء

وزارة التربية/المديرية العامة للتربية ببغداد الرصافة ٣

المستخلص: تحويل توزيع وبيل الهندسي الاعتيادي من خلال النموذج المولد (kummer Beta) الى توزيع كومر بيتا وبيل الهندسي المعمم (Kummer Beta Generalized Weibull Geometric Distribution) ومن ثم تقدير معلمات التوزيع باستعمال طريقة الامكان الاعظم (MLE)، وتحسين هذه المقدرات من خلال توظيف الخوارزمية الجينية ومن ثم استعمال المحاكاة بافتراء عدد من النماذج وتحجيم عينات مختلفة ولقد توصل الباحث الى طريقة الخوارزمية الجينية هي الأفضل في تقدير معلمات توزيع كومر بيتا وبيل الهندسي المعمم (KBGWD) مقارنة بطريقة الامكان الاعظم الاعتيادية (MLE) وذلك بالاعتماد على المقاييس الإحصائية متوازية متوسط مربعات الخطأ (MSE) Squared Error . أما الجانب التطبيقي أظهر بان دالة المخاطرة متزايدة أي ان ازيداد فترةبقاء نسب النجاح للمدارس الابتدائية يتعرض الى معدل فشل أكبر نتيجة فترة البقاء التي تتناقص.

الكلمات الرئيسية : توزيع كومر بيتا المعمم ، دالة البقاء ، طريقة الامكان الاعظم ، توزيع وبيل الهندسي ، الخوارزمية الجينية.

Abstract:

Transforming the normal Weibull geometric distribution through the kummer Beta model to the Kummer Beta Generalized Weibull Geometric Distribution and then estimating the distribution parameters using the MLE method, and improving these capabilities by employing the genetic algorithm and from Then using simulation, assuming a number of models and different sample sizes, the researcher has reached a genetic algorithm method that is the best in estimating the parameters of the Kummer Beta Weibull Geometric Generalized (KBGWD) distribution compared to the usual maximum likelihood method (MLE) by relying on the statistical scale mean squares of error (MSE). As for the practical side, it showed that the hazard function is increasing, that is, the increase in the survival time of the primary school pass rates is exposed to a greater failure rate as a result of the retention period that decreases.

Key words: Kummer Beta Generalized Distribution, Hazard Function, Maximum likelihood Method, Weibull Geometric Distribution, Genetic Algorithm.

1. المقدمة (Introduction)

تلعب التوزيعات الإحصائية دوراً مهماً للغاية في الأبحاث العلمية حيث إنها مفيدة جداً في تحديد ووصف وتوقع ظواهر العالم الحقيقي. على الرغم من إنشاء العديد من التوزيعات ، إلا أن هناك دائماً مجالاً لتطوير توزيعات أكثر مرونة لتناسب سيناريوهات العالم الحقيقي المحددة. ، في عام (1995) اقترح توزيع جديد وهو كومر بيتا المعمم (Kummer Beta Generalized) من قبل (K.W.Ng and S.Kotz) ، والذي حدوده بين (0،1) مع دالة التوزيع التراكمي و دالة كثافة الاحتمال. الدافع الرئيسي للإحصائيين لدراسة العائلات الجديدة من التوزيعات الإحصائية هو زيادة المرونة لتصميم مجموعات البيانات المختلفة التي لا يمكن تركيبها بشكل صحيح بواسطة التوزيعات الأحتمالية الحالية (الكلاسيكية). ومن أهم الطرائق التي تطبق في تقدير معلماته هي طريقة الامكان الاعظم (MLE) من اجل الحصول على قيم المعلمة المثلثى (افضل نتائج تقدير) وقد تم استعمال خوارزمية نيوتون رافسون (Newton Raphson Algorithm) كطريقة لحل مشكلة غير خطية ونظرأً لما تتمتع بها خوارزمية نيوتون رافسون في طريقة الامكان الاعظم من القيود والافتراضات بتحديد لها لنقطة البداية وقد تكون هذه النقطة غير جيدة فلا تستطيع ايجاد



القيم المثلثى فكانت هناك حاجة لطريقة بديلة، لحل هذه المشاكل ف يتم استعمال منهجية الخوارزمية الجينية (GA) وهي طريقة محسنة لحل (Genetic Algorithm) **هدف البحث**

الهدف من هذا البحث هو تقدير معلمات توزيع كومر بيتا وبيل الهندسي المعمم بـاستعمال طريقة الإمكان الأعظم الاعتيادية وتوظيف الخوارزمية الجينية لتحسين المقدرات بغية الوصول الى افضل طريقة تقدير وذلك من خلال الاعتماد على المقاييس الاحصائي متواسط مربعات الخطأ (MSE) بـاستخدام اسلوب المحاكاة .

2. الجانب النظري

2.1 مفهوم كومر بيتا (The Concept of Kummer Beta)

قدم كل من (Ng) و (Kotz) في عام (1995) أنموذجًا جديدًا يوفر إمكانية أكبر للنطاف وهو فئة جديدة من التوزيعات المولدة ويدعى توزيع كومر بيتا المعمم (Distrbution Kummer Beta Generalized) ويرمز له (KBGD) وهو عبارة عن توزيع بيتا مضاف له معلمة الشكل (c) وتمثل فائدتها الرئيسية في توفير المزيد من المرونة للأطراف المتطرفة (اليمنى و / أو اليسرى) وبالتالي تصبح مناسبة لتحليل البيانات بدرجة عالية من عدم التمايز وحدوده هي بين (0,1). ويمكن الاستفادة منه في توليد توزيعات جديدة لتوزيعات أصلية عادية وسيتم العمل على توزيع (Webuill Geometric) من بين العديد من التوزيعات دالة التوزيع التراكمي ودالة الكثافة الأحتمالي كاماموضح في الصيغة أدناه [11;2012;pp.154]

$$F_{KBG}(x) = K \int_0^{G(x)} t^{a-1} (1-t)^{b-1} e^{-ct} dt \quad \dots (2-1)$$

$$a > 0, b > 0, -\infty < c < \infty$$

$$K^{-1} = \frac{\Gamma a \Gamma b}{\Gamma a + b} F_1(a; a+b; -c)$$

$$F_1(a; a+b; -c) = \frac{\Gamma(a+b)}{\Gamma a \Gamma b} \int_0^1 t^{a-1} (1-t)^{b-1} \exp(-ct) dt = \sum_{k=0}^{\infty} \frac{(a)_k (-c)^k}{(a+b)_k k!}$$

ربط توزيع KBG بثلاثة معلمات إضافية a و b و c تم تحديدها بواسطة دالة الكثافة الأحتمالية (pdf) ويمكن التعبير عن دالة الكثافة الأحتمالية (Probability density function) بالصيغة التالية

$$f_{KBG}(x) = K g(x) G(x)^{a-1} [1 - G(x)]^{b-1} \exp[-c G(x)] \quad \dots (2-2)$$

2.2. توزيع كومر بيتا وبيل الهندسي المعمم

Kummer Beta weibull Geomtric Generalized Distrbution (KBGWD)

توزيع وبيل يعتبر من التوزيعات المهمة المستخدمة في المعولية وفي توزيع فترات البقاء. وقد احتوت هذه الدراسة على توزيع وبيل الهندسي ذو السنة معلم λ حيث يمكن استخدام نفس المنهجية لإنشاء فئة جديدة [2;2014;pp.259-269]. من التوزيع العادي وكالاتي

$$G(x) = \frac{1 - U_{(\lambda,d)}}{1 - PU_{(\lambda,d)}}$$

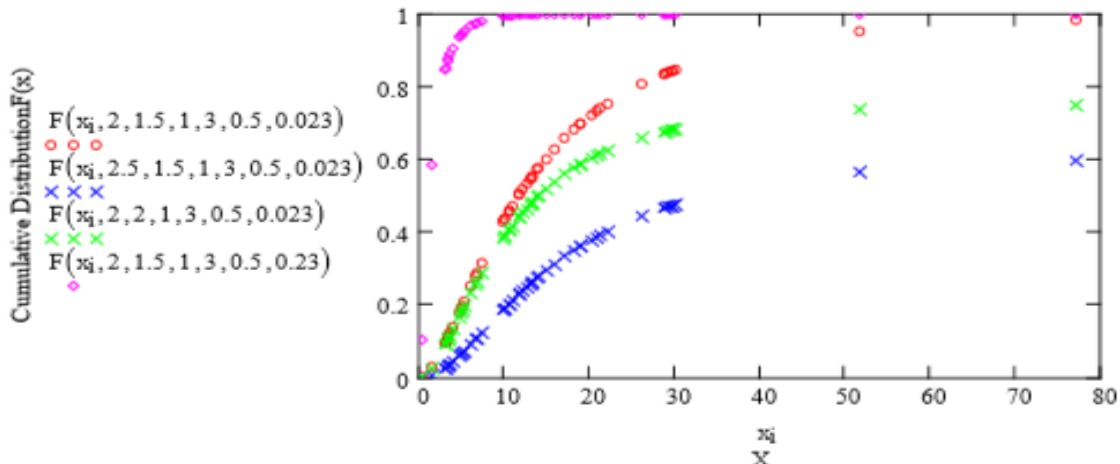
$G(x)$: يمثل cdf لتوزيع وبيل الهندسي.
، $a, b, c > 0$: معلمةقياس $\lambda > 0$: معلمات الشكل

$$U_{(\lambda,d)} = \exp\{-(\lambda x)^d\}, p \in (0,1)$$

$X \sim KBWG(p, \lambda, c, a, b, d)$ يقال ان المتغير العشوائي يتوزع توزيع كومر بيتا وبيل الهندسي المعمم

يمتلك دالة الكثافة الأحتمالية (cdf) حسب الصيغة رقم (2-1) كالتالي :

$$F(x) = K \int_0^{1 - U_{(\lambda,d)}} x^{a-1} (1-x)^{b-1} e^{-cx} dx \quad \dots (2-3)$$



الشكل (1- 2) يبين دالة الكثافة الأحتمالية للتوزيع كومر بيتا وبين الهندسي المعجم (KBGWD) أيضا ، يمكننا الحصول على دالة (pdf) للتوزيع (KBGWD) عن طريق أشتقاق دالة (2-3) على النحو التالي:

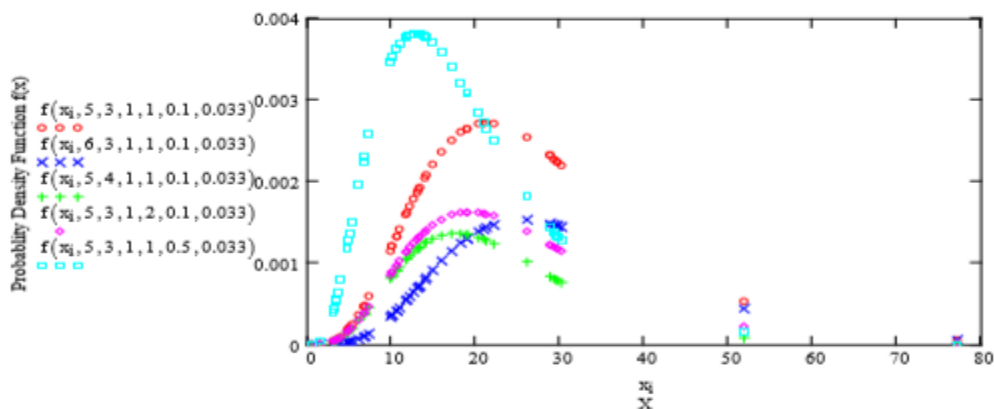
$$\begin{aligned} \frac{dF(x)}{dx} &= K \left(\frac{1 - U_{(\lambda,d)}}{1 - PU_{(\lambda,d)}} \right)^{a-1} \left(1 - \frac{1 - U_{(\lambda,d)}}{1 - PU_{(\lambda,d)}} \right)^{b-1} e^{-d \frac{1-U_{(\lambda,d)}}{1-PU_{(\lambda,d)}}} \left(\frac{d\lambda^d (1-p)x^{d-1} u_{(\lambda,d)}}{(1-PU_{(\lambda,d)})^2} \right) \\ &= K \frac{(1-U_{(\lambda,d)})^{a-1}}{(1-PU_{(\lambda,d)})^{a-1}} \left(\frac{1-PU_{(\lambda,d)}-1+U_{(\lambda,d)}}{1-PU_{(\lambda,d)}} \right)^{b-1} e^{-c \frac{1-U_{(\lambda,d)}}{1-PU_{(\lambda,d)}}} \left(\frac{d\lambda^d (1-p)x^{d-1} u_{(\lambda,d)}}{(1-PU_{(\lambda,d)})^2} \right) \end{aligned}$$

$$\begin{aligned} &= K \frac{(1-U_{(\lambda,d)})^{a-1} U_{(\lambda,d)}^b (1-p)^b x^{d-1} d\lambda^d}{(1-PU_{(\lambda,d)})^{a+b}} e^{-c \frac{1-U_{(\lambda,d)}}{1-PU_{(\lambda,d)}}} \\ \therefore f(x; p, \lambda, d, a, b, c) &= K d\lambda^d (1-p)^b (1 - U_{(\lambda,d)})^{a-1} U_{(\lambda,d)}^b x^{d-1} \\ &\quad (1 - PU_{(\lambda,d)})^{-(a+b)} e^{-c \frac{1-U_{(\lambda,d)}}{1-PU_{(\lambda,d)}}}, x \geq 0 \quad \dots (2-4) \end{aligned}$$

نستطيع أن نلاحظ أن المعادلة رقم (2-4) هي دالة الكثافة الأحتمالية حيث أن لكل قيمة x

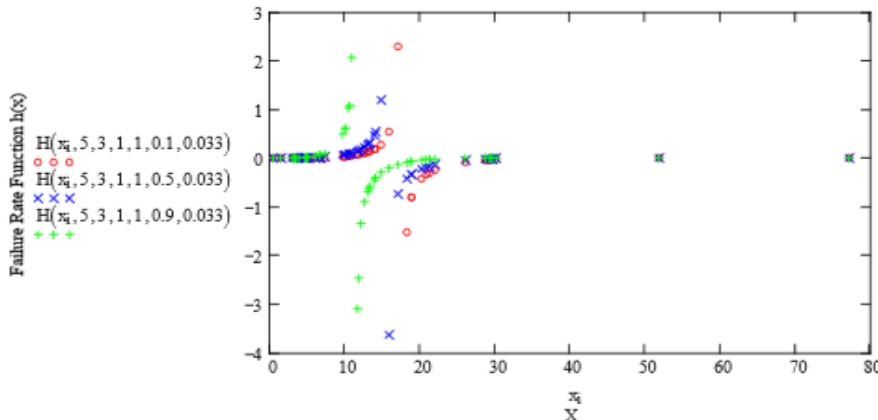
$$f(x; p, \lambda, d, a, b, c) \geq 0$$

$$\int g(x; p, \lambda, d, a, b, c) dx = 1$$





الشكل (2 - 2) يبين دالة الكثافة الأحتمالية لتوزيع كومر بيتا وبين الهندسي المعمم



الشكل (2-2) يبين دالة معدل الفشل لتوزيع كومر بيتا وبين المعمم

3-2. تقدير معلمات لتوزيع كومر بيتا وبين الهندسي المعمم باستعمال طريقة MLE

لتكن (x_1, x_2, \dots, x_n) عينات عشوائية من الحجم n تتوزع $X \sim KBGWG(P, \lambda, d, a, b, c)$ [3:2014;p.267-26]

$$f(x_i) = \prod_{i=1}^n Kd\lambda^d (1-p)^b (1-u_{(\lambda,d)_i})^{a-1} u_{(\lambda,d)_i}^b x_i^{d-1} (1-L(\theta)) = \prod_{i=1}^n f(x_i)$$

$$= pu_{(\lambda,d)_i}^{-a-b} e^{-c \frac{1-u_{(\lambda,d)_i}}{1-pu_{(\lambda,d)_i}}}$$

ولغرض تقدير دالة الامكان وتحولها الى الشكل الخطى وذلك باخذ اللوغارتم الطبيعي لطرفي المعادلة

$$\log L(\theta) = n[\log(k) + \log(d) + b \log(1-p) + d \log(\lambda)] + (d-1) \sum_{i=1}^n \log(x_i)$$

$$+ b \sum_{i=1}^n \log(u_{(\lambda,d)_i}) + (a-1) \sum_{i=1}^n \log(1-u_{(\lambda,d)_i}) - (a$$

$$+ b) \sum_{i=1}^n \log(1-pu_{(\lambda,d)_i}) - c \sum_{i=1}^n \frac{1-u_{(\lambda,d)_i}}{1-pu_{(\lambda,d)_i}}$$

$$\theta = (P, \lambda, d, a, b, c)^T \quad u_{(\lambda,d)_i} = \exp\{-(\lambda x_i)^d\}$$

ولإيجاد القيم التقديرية لكل المعلمات، والتي تجعل دالة الإمكان الأعظم أكبر ما يمكن سيتم من خلالها حساب النهايات العظمى للدالة وكما يلي

$$\frac{d \ln L(\theta)}{d \lambda} = 0 = \frac{n}{d} + n \log(\lambda) + \sum_{i=1}^n \log(x_i) - \lambda b \sum_{i=1}^n (\lambda x_i)^d \log(\lambda x_i) + (a -$$

$$1) \sum_{i=1}^n \frac{u_{(\lambda,d)_i} (\lambda x_i)^d \log(\lambda x_i)}{1-u_{(\lambda,d)_i}} - (a+b)p \sum_{i=1}^n \frac{u_{(\lambda,d)_i} (\lambda x_i)^d \log(\lambda x_i)}{1-u_{(\lambda,d)_i}} - c \sum_{i=1}^n \frac{u_{(\lambda,d)_i} (\lambda x_i)^d \log(\lambda x_i)(1-pu_{(\lambda,d)_i}) + pu_{(\lambda,d)_i} (\lambda x_i)^d \log(\lambda x_i)(1-u_{(\lambda,d)_i})}{((1-pu_{(\lambda,d)_i})^2)} \dots (2-5)$$

$$= 0 = \frac{bn}{1-p} + (a+b) \sum_{i=1}^n \frac{u_{(\lambda,d)_i}}{1-pu_{(\lambda,d)_i}} + d \sum_{i=1}^n \frac{(1-u_{(\lambda,d)_i}) u_{(\lambda,d)_i}}{((1-pu_{(\lambda,d)_i})^2)} \dots (2-6) \frac{d \log L(\theta)}{dp}$$

$$\frac{d \log L(\theta)}{db} = 0 = n \log(1-p) + \frac{n}{K} \frac{dK}{db} + \sum_{i=1}^n \log(u_{(\lambda,d)_i}) - \sum_{i=1}^n \log(pu_{(\lambda,d)_i}) \dots (2-7)$$



$$\frac{d \log L(\theta)}{da} = 0 = \frac{n}{K} \frac{dK}{da} + \sum_{i=1}^n \log(1 - u_{(\lambda,d)_i}) - \sum_{i=1}^n \log(1 - pu_{(\lambda,d)_i}) \quad \dots (2-8)$$

$$\frac{d \log L(\theta)}{d\lambda} = 0 = \frac{nd}{\lambda} - db\lambda^{d-1} \sum_{i=1}^n x_i^d + (a-1)d\lambda^{d-1} p \sum_{i=1}^n \frac{x_i^d u_{(\lambda,d)_i}}{1-u_{(\lambda,d)_i}} - b)d\lambda^{d-1} p \sum_{i=1}^n \frac{x_i^d u_{(\lambda,d)_i}}{1-pu_{(\lambda,d)_i}} - c \sum_{i=1}^n \frac{(1-pu_{(\lambda,d)_i})(u_{(\lambda,d)_i} d\lambda^{d-1} x_i^d) - pu_{(\lambda,d)_i} d\lambda^{d-1} x_i^d (1-u_{(\lambda,d)_i})}{(1-pu_{(\lambda,d)_i})^2} \quad \dots (2-9)$$

$$= 0 = \frac{n}{K} \frac{dK}{dc} - \sum_{i=1}^n \frac{1-u_{(\lambda,d)_i}}{1-pu_{(\lambda,d)_i}} \quad \dots (2-10) \frac{d \log L(\theta)}{dc}$$

لaimكن حل (System Equations) بالطائق الاعتيادية ولغرض حلها نستخدم إحدى الطائق العددية لحل المعادلات غير الخطية مثل طريقة نيوتن - رافسون .

(Genetic Algorithm)

هي احدى طائق الذكاء الاصطناعي للحصول على أمثل حل للمشكلة قيد الدراسة وبأسلوب فعال وسريع جاءت فكرته من البروفيسور في علم الحاسوب جون هولاند (John Holland) من جامعة ميشيغان (Michigan University) والذي كان يهدف الى تحديث مفهوم اجرائية التطوير الطبيعية وتصميم انظمة صناعية تتحلى بصفات مشابهة للأنظمة الطبيعية وطموحه المستمر لتحسين أداء النظم الحاسوبية جعل من الخوارزميات الجينية اكثر فعالية في حل مسائل الامثلية (Optimization Issues) والتي لا يوجد لها حل عند تطبيق الطائق التقليدية الاخرى المعروفة وذلك لما تتحلى به الخوارزميات الجينية من تقليص واقتصار الكثير من الجهد والوقت لدى مصممي الانظمة والبرامح في حل هذه المسائل مع الاخذ بنظر الاعتبار خصوصية كل مسألة من حيث حجم ونوع البيانات المستعملة وطبيعة دالة الهدف والقيود المفروضة [13;2013;p.120].

2.3.1 المنهجية الخوارزمية

يتم اتباع منهجية الخوارزميات الجينية من أجل الوصول الى الحلول المثلث في المسائل الرياضية كإحدى الطائق التكرارية المتبعة حديثاً من أجل اتخاذ القرارات الصائبة [25;2005;p.97].

مراحل الخوارزمية الجينية (Stages of the Genetic Algorithm) باختلاف فروع التقنيات التطورية تختلف في الخوارزمية الجينية الا انها مشتركة في المراحل التالية [25;2013;p.126]:

اولاً: البداية (Start)

تتمثل بتعادد سكاني عشوائي من الكروموسومات ويسمى (فضاء الدراسة) وبعبارة اخرى هي مجموعة حلول المسألة قيد الدراسة [35;2005;p.245].

ثانياً: التهيئة (Initialization)

تتمثل بتوليد وهي عبارة عن كروموسومات عشوائية بقدر حجم المجتمع وذلك حسب طبيعة المشكلة المراد حلها أي بمعنى عملية انشاء الجيل الابتدائي [15;2015;p.775].

ثالثاً: الاختيار (Selection)

يتضمن تكوين الجيل الجديد من خلال اختيار كروموسومات مناسبة من الجيل القديم يتم انشاؤها وفقاً لقيم دالة التقييم لغرض وجود الكروموسومات مع اعلى قيمة لدالة التقييم في الاجيال الجديدة فكلما زادت قيمة دالة التقييم زاد في فرصتها في الاختيار (الأم) والحصول على الحل الامثل بالسرعة الممكنة ومن طرائقها اختيار عجلة الروليت و اختيار المbarاة وغيرها [33;2012;p.40].

رابعاً: الاستنساخ (Reproduction)

هي عملية الاختيار (Selection) وتوليد جيل جديد من الافراد (الكروموسومات) وفق مبدأ البقاء للأصلح ومن ثم اجزاء عليها عملية التهجين (Crossover) وعملية الطفرة (Mutation) لانتاج الابناء(الجيل اللاحق) [10;2015;p.168].

خامساً: التهجين (Crossover)



التزاوج يكون بين كل كروموسومين لإنتاج الجيل الجديد (الأبناء) وذلك بعد اختيار الكروموسومات الجيدة من الجيل الأول اعتماداً على الكروموسومات (الأم) يأخذ الصفات الجيدة منها ومن طرائقها التهجين بنقطة واحدة وبقطتين وغيرها [7;2016;p.1033]

(Mutation)

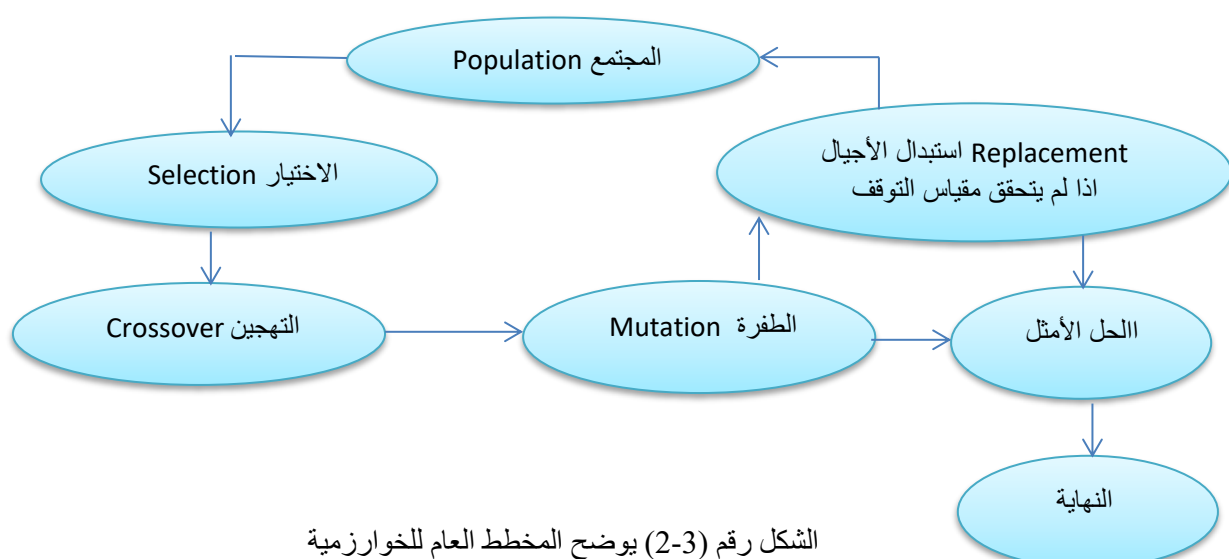
عملية الطفرة تتم بأحداث تغيرات عشوائية في صبغتها الكروموسومية بعد إنشاء الجيل الجديد (الأبناء) وباحتمال وجود الطفرة مما يؤدي بنا لحفظ الصفات الجيدة بين الجينات في الكروموسوم الواحد والوصول إلى الحل بشكل أسرع وفيها يحدث التبادل بين الكروموسومات وعندما لا تكون هناك طفرة فتجري عملية استنساخ الكروموسومات (الأباء) مباشرةً دون حدوث عملية التهجين [10;2015;p.169].

سادساً: الطفرة

عند وجود أحد العوامل تنتهي الخوارزمية الجينية [38;2009;pp.45-46] [20;2015;p.332].
الحصول على الحل الأمثل، الوصول إلى عدد الأجيال المطلوبة، عندما تتوفر قيمة معينة.

(Termination)

سابعاً: الانهاء



الشكل رقم (3-2) يوضح المخطط العام للخوارزمية

3. الجانب التجريبي

3.1 وصف مراحل تجربة المحاكاة

لقد تضمنت تجارب المحاكاة المراحل الآتية لتطبيق أساليب تقدير معالم توزيع (KBGWGD) في هذا البحث.
المرحلة الأولى

وهي مرحلة اختيار القيم الأفتراضية، إذ تعد من المراحل المهمة التي تعتمد المراحل الأخرى عليها، وتم اختيار القيم الأفتراضية كالآتي :

1. بالنسبة للمعلمات والتجارب المختلفة كانت كما في الجدول الآتي:

جدول رقم (3-1) للمعلمات الأفتراضية والتجارب المختلفة

Experiment	A	B	C	ρ	D	λ
	2	3	-1	0	5	1.5
	2	3	1	0	5	1.5



	2	3	-0.5	0	5	1.5
	2	3	0.5	0	5	1.5
	2	3	-2	0	5	1.5
	2	3	2	0	5	1.5

n=20,50,90,250

2. أما العينات المفترضة فكانت كالتالي المرحلة الثانية - توليد بيانات

في هذه المرحلة يتم توليد قيم المتغير التوضيحي (عشوائي) X_i وان هذا المتغير يتبع التوزيع المنتظم (Uniform distribution)، على وفق الصيغة التالية:

 $X = \text{Rand}$

$$X_i \sim U(0,1), \quad i = 1, 2, \dots, n$$

يتم تحويل المتغير التوضيحي والذي يتبع التوزيع المنتظم الى متغير توضيحي (عشوائي) يصف أنموذج الدراسة بأسعمال اسلوب رياضي احصائي و تستعمل هذه الطريقة في توليد مختلف المتغيرات التوضيحية والتي تتبع مختلف التوزيعات الاحتمالية .

المرحلة الثالثة

في هذه المرحلة يتم تقدير ومعلمات توزيع كومر بينا وبييل الهندسي المعمم (KBGWD) (ذى الستة معالم (a, b, c, p, d, λ)) وكذلك دالة المخاطرة والمبنية في الجانب النظري وحسب صيغ طرائق التقدير الآتية:

1. طريقة الإمكان الأعظم (ML).
2. طريقة الخوارزمية الجينية (GA).

المرحلة الرابعة

مرحلة المقارنة بين طرائق التقدير ، حيث يتم استخدام المقياس الآتى

1. مقياس متوسط مربعات الخطأ (MSE)

يقوم بحساب كل (t_i) من الزمن وصيغة هذا المقياس تكون كما يلى :

$$MSE = \frac{1}{R} \sum_{i=1}^R MSE_i = \frac{1}{R} \sum_{i=1}^R \left[\frac{1}{N-P} \sum_{j=1}^N (Y_{ij} - \hat{Y}_{ij})^2 \right]$$

R : يمثل عدد مرات تكرار التجربة، وقد تم تكرار تجربة المحاكاة عدد 1000 للحصول على نتائج الجانب التجريبي.

3.2 مناقشة تجارب المحاكاة

في هذا البحث سيتم عرض وتحليل نتائج تجارب المحاكاة لتقدير معلمات توزيع كومر بينا وبييل الهندسي المعمم (KBGWD) وكذلك دالة المخاطرة لتوزيع حسب الطريقة المبنية في الجانب النظري من البحث، وقد تم الحصول على النتائج بالاعتماد على برنامج كتب بلغة (MATLAB) (بالملحق) ، وفيما يلى النتائج الموضحة في الجداول التي سيتم تحليلها حسب التسلسل وكما يأتي:

- (أ) عند حجوم العينات ($n = 20,50,90,250$) في النماذج الاول والثاني والخامس والسادس والمبنية في الجداول رقم (3 – 3), (3 – 4), (3 – 7), (3 – 8) ، نلاحظ تفوق طريقة الإمكان الأعظم المحسنة (MLE. GA) على طريقة الإمكان الأعظم الاعتيادية (MLE) وعندما تكون قيمة المعلمة الافتراضية ($c = -0.5, 0.5, 0.5, -1, 1, -2, 2$) ،
- (ب) ماعدا حجم العينة ($n = 50$) في النموذج الأول المبين في الجدول رقم (3 – 3) نلاحظ تفوق طريقة الإمكان الأعظم الاعتيادية (MLE) على طريقة الإمكان الأعظم المحسنة (MLE. GA) وذلك عندما تكون قيمة المعلمة الافتراضية ($c = 1$) ،
- (ت) وفي الأنماذج الثالث والرابع المبينين في الجدولين رقم (5 – 3) و (6 – 3) و عند حجوم العينات ($n = 20,50,90,250$) تفوقت طريقة الإمكان الأعظم الاعتيادية (MLE) على طريقة الإمكان الأعظم المحسنة (MLE. GA) وعندما تكون قيمة المعلمة الافتراضية ($c = -0.5, 0.5$) ،

جدول (2-3) نسبة الكفاءة لتقدير معامل توزيعات (KBG) باستعمال المقياس الأحصائي(MSE)



التوزيعات	حجم العينة	عدد مرات الافضلية (MLE)	عدد مرات الافضلية (MLE.GA)	النسبة	Best
KBGWD	20	2	4	0.27	MLE.GA
	50	3	3	0.2	=
	90	2	4	0.27	MLE.GA
	250	2	4	0.27	MLE.GA
	المجموع	9	15		MLE.GA

من خلال الجدول رقم (2 - 3) نلاحظ عند احجام العينات ($n = 20, 90, 250$) كانت الطريقة الجينية المحسنة أكثر كفاءة لتقدير معامل توزيع (KBGWD). في حين كانت طريقة الامكان الاعظم (MLE) أقلّاً عند حجم العينة ($n = 50$). الجدول (3-3) يوضح الأنماذج الأولى متوسط مربعات الخطأ (MSE) لمقررات معامل دالة الكثافة الاحتمالية (PDF) ومتوسط مربعات الخطأ التكاملية (IMSE) لدالة المخاطرة للتوزيع (KBGWD) باستعمال الطرائق الاعتيادية والجينية وكافة احجام العينة.

Kummer Beta Generalized Weibull Geometric Distribution	Sample Sizes	Initial Values	Capabilities (MLE)	Capabilities (GA)	Classic Mse (MLE)	IMSE (MLE)
					Genetic Mse (GA)	IMSE (GA)
N=20	a=2 b=3 c=-1 p=0 $\lambda=1.5$ d=5		$= -\hat{a}$ 0.0001135771946	$= -\hat{a}$ 0.00132902317451		
			28	9		
			$= -\hat{b}$ 0.00046936265	$= -\hat{b}$ 0.000289314224		
			7993	994	2.3591966965217	12.4902453158
					42e-06	40044
			$= \hat{c}$ 0.0000315584141	$= \hat{c}$ 0.00045719842442	1.0038998735648	32.8440408189
			57	0	53e-06	31752
			$= -\hat{p}$ 0.0022234418592	$= -\hat{p}$ 0.00048982661664		
			34	8		
			$= \hat{\lambda}$ 0.0001600334509	$= 0.000161105039\hat{\lambda}$ 494		
			69			
			$= 0.00293044838\hat{d}$ 0128	$= -\hat{d}$ 0.00056554866335		
				5		



N=50	N=50	$=\hat{a}$ 0.0000234594905 59	1.0e-03 * $=\hat{a}$ 0.60883642617927 5	 $=\hat{b}$ 0.151512323271 = \hat{c} 0.48650381518260 $=-\hat{p}$ 0.30309196180288 $=\hat{\lambda}$ 0.08545728552313 $=\hat{d}$ 0.28002869415807	 $=\hat{b}$ 2.0094659691872 94e-10 1.1751495407612 17e-06	 9.37387803884 6533 13.3515779442 97981
		$=-\hat{a}$ 0.0067331904357 35	1.0e-03 * $=-\hat{a}$ 0.31151741942626 0	 $=-\hat{b}$ 0.082549809088 553	 2.7391449752628 55e-07 2.4386542344162 48e-07	 3.71080689183 6044 7.24041505919 2606
		$=\hat{b}$ 0.08123757229 2863	 $=\hat{b}$ 0.082549809088 553	 $=\hat{c}$ 0.87211172078645 5		
		$=\hat{c}$ 0.0054290520512 88	 $=\hat{c}$ 0.87211172078645 5			
		$=-\hat{p}$ 0.2727240939206 06	 $=-\hat{p}$ 0.18000736135050 3			
		$=\hat{\lambda}$ 0.0302888769107	 $=\hat{\lambda}$ 0.04684417090584			



		40 $=0.76554140622\hat{d}$ 1883	2 $=-\hat{d}$ 0.14812947642386 3		
N=250		1.0e-03 * $= -\hat{a}$ 0.0009767548469 82	1.0e-03 * $= -\hat{a}$ 0.18775386186659 4	9.5906898968505 53e-07	3.56873750475 2474
		$= -\hat{b}$ 0.02083253949 6372	$= -\hat{b}$ 0.042725521175 398	2.9757232745284 85e-08	2.62501397572 4970
		$= \hat{c}$ 0.0013523120317 08	$= \hat{c}$ 0.10099006783608 1		
		$= -\hat{p}$ 0.0769390189717 59	$= -\hat{p}$ 0.07952588758820 7		
		$= \hat{\lambda}$ 0.0084292801891 37	$= \hat{\lambda}$ 0.02454069899243 6 -		
		$=0.30645211727\hat{d}$ 9845	$=0.079241576001\hat{d}$ 341		

الجدول (4-3) يوضح الأنماذج الثاني متواسط مربعات الخطأ (MSE) لمقدرات معالم دالة الكثافة الأحتمالية(PDF)
ومتوسط مربعات الخطأ التكمالي (IMSE)

دالة المخاطرة للتوزيع (KBGWD) باستعمال الطرائق الاعتيادية والجينية وكافة احجام العينة

Kummer Beta Generalized	Sample Sizes	Initial Value s	Capabilities (MLE)	Capabilities (GA)	Classic Mse (MLE)	IMSE (MLE)
					Genetic Mse (GA)	IMSE (GA)



	N=20		= \hat{a} 0.0003259306 98042	=- \hat{a} 0.0013290231 74519		
			$\hat{b} = -$ 0.07177296 368537	$\hat{b} = -$ 0.000289314 22499	5.5317838393 70653e-04	12.51949009189 1411
		a=2	= - \hat{c} 0.0250627142 34817	= \hat{c} 0.0004571984 24420	1.6829980324 29297e-05	32.84404081893 1752
		b=3	$\hat{p} = -$ 0.0257591250	$\hat{p} = -$ 0.0004898266		
		c=1	11419	16648		
		p=0	$\hat{\lambda} =$ 0.0020292113	$\hat{\lambda} =$ 0.0001611050		
		$\lambda = 1.5$	61172	39494		
		d=5	= - \hat{d} 0.0107654231 32661	= - \hat{d} 0.0005655486 63355		
			= \hat{a} 0.0000381175 41601	1.0e-03 * = - \hat{a} 0.6088364261 79275	0.0264048305 26608	9.393103481128 703
	N=50		= - \hat{b}			

			$=\hat{b}$ 0.0078502463 34259 $=\hat{c}$ 0.0503908107 72976 $\hat{p} = -$ 0.0033171641 04312 $\hat{\lambda} =$ 0.0010023890 20536 $=-\hat{d}$ 0.0036116408 30672	0.151512323 27116 $=\hat{c}$ 0.4865038151 82600 $=-\hat{p}$ 0.3030919618 02889 $=\hat{\lambda}$ 0.0854572855 23136 $=-\hat{d}$ 0.2800286941 58074	1.1751495407 61217e-06	13.35157794429 7981
	N=90		$= \hat{a}$ 0.0000138688 10121 $\hat{b} = -$ 0.00552940 781125 $= -\hat{c}$ 0.0030401460 72298 $\hat{p} = -$ 0.0022662869 33265 $\hat{\lambda} = 0.00051372$ 305314 $=-\hat{d}$ 0.0021333699 80920	$1.0e-03 *$ 0.3115174194 26260 $\hat{b} = -$ 0.082549809 08855 $= \hat{c}$ 0.8721117207 86455 $\hat{p} = -$ 0.1800073613 50503 $\hat{\lambda} = 0.04684417$ 0905842 $=-\hat{d}$ 0.1481294764 23863	2.7858136495 39167e-06 2.4386542344 16248e-07	3.718078597257 814 7.240415059192 606



	N=250	$\hat{a} = 0.000001554075616$ $\hat{b} = 0.00144354820623$ $\hat{c} = 0.002064777937773$ $\hat{p} = 0.000609442108677$ $\hat{\lambda} = 0.000204671747129$ $\hat{d} = 0.000712833220911$	$1.0e-03 *$ $= -\hat{a}$ $= 0.187753861866594$ $\hat{b} = -0.042725521$ $= \hat{c}$ $= 0.100990067836081$ $\hat{p} = -0.079525887588207$ $\hat{\lambda} = 0.024540698992436$ $= -\hat{d}$ $= 0.079241576001341$	$5.401565415327244e-07$ $2.975723274528485e-07$	3.572425295982 158	2.625013975724 970
--	-------	---	--	--	-----------------------	-----------------------

الجدول (5-3) يوضح الأنماذج الثالث متواسط مربعات الخطأ (MSE) لمقدرات معالم دالة الكثافة الاحتمالية (PDF)
ومتواسط مربعات الخطأ التكاملي (IMSE)

لداة المخاطرة للتوزيع (KBGWD) باستعمال الطرائق الاعتيادية والجينية وكافة احجام العينة

Kummer Beta Generalized	Sample Sizes	Initial Values	Capabilities (MLE)	Capabilities (GA)	Classic Mse (MLE)	IMSE (MLE)
					Genetic Mse (GA)	IMSE (GA)



N=20	a=2	$= -\hat{a}$ 0.000052773950703	$= -\hat{a}$ 0.001329023174519	$3.77877641917919 \times 10^{-7}$	12.49296479 978301
		$\hat{b} =$ 0.00130619446022	$\hat{b} =$ 0.0002893142249		
		6	9		
		$= \hat{c}$ 0.000120231980932	$= \hat{c}$ 0.000457198424420		
		$\hat{p} = -$ 0.001489976197775	$\hat{p} = -$ 0.000489826616648		
	$\lambda=1.5$	$\hat{\lambda} =$ 0.000331134105826	$\hat{\lambda} =$ 0.000161105039494	1.68299803242929 7e-05	32.84404081 931752
		$c = -0.5$	$= -\hat{d}$ 0.000565548663355		
		$p = 0$			
		$\lambda = 1.5$			
		$d = 5$			
N=50	$\lambda=1.5$	$1.0e-03 *$	$1.0e-03 *$	$1.11882963664156 \times 10^{-8}$	9.374491159 90075
		$= -\hat{a}$ 0.009981383499482	$= -\hat{a}$ 0.608836426179275		
		$= -\hat{b}$ 0.254560581004819	$= -\hat{b}$ 0.1515123232711		
		$= 0.01857924342368\hat{c}$ 7	$= 0.486503815182\hat{c}$ 600		
		$\hat{p} = -$ 0.275379771500675	$= -\hat{p}$ 0.303091961802889		
	$\lambda=2$	$\hat{\lambda} =$ 0.109389695031490	$= \hat{\lambda}$ 0.085457285523136	1.17514954076121 7e-06	13.35157794 297981
		$= \hat{d}$ 0.614410201144591	$= -\hat{d}$ 0.280028694158074		



	N=90	1.0e-03 * = \hat{a} 0.002891010589835 $\hat{b} = -$ 0.21385163763924 5 = 0.01917246068398 \hat{c} 7 $\hat{p} = -$ 0.199085037232212 $\hat{\lambda} =$ 0.070225058153564 $= \hat{d}$ 0.320785446746871	1.0e-03 * = \hat{a} 0.311517419426260 $\hat{b} = -$ 0.0825498090885 5 = \hat{c} 0.872111720786455 $\hat{p} = -$ 0.180007361350503 $\hat{\lambda} = 0.046844170905$ 842 = $-\hat{d}$ 0.148129476423863	5.40592354437762 2e-08	3.711212861 86346
	N=25 0	1.0e-03 * = \hat{a} 0.000406024519611 $\hat{b} = -$ 0.05615581157869	1.0e-03 * = \hat{a} 0.187753861866594	1.82607734681375 2e-08	3.568944833 56455



			9 $=0.00449156767218\hat{c}$ 8 $\hat{p} = -$ 0.053383930481989 $\hat{\lambda} = 0.02295608956113$ 1 $= \hat{d}$ 0.124412830096103	$\hat{b} = 0.0427255211$ 75398 $= 0.100990067836\hat{c}$ 081 $\hat{p} = -$ 0.079525887588207 $\hat{\lambda} = 0.024540698992$ 436 $= -\hat{d}$ 0.079241576001341	2.9757232745529e -07	2.624019901 77960
--	--	--	---	---	-------------------------	----------------------

الجدول (6-3) يوضح الأنماذج الرابع متوسط مربعات الخطأ (MSE) لمقدرات معالم دالة الكثافة الاحتمالية (PDF)
ومتوسط مربعات الخطأ التكاملی (IMSE)

دالة المخاطرة للتوزيع (KBGWD) باستعمال الطرائق الاعتيادية والجينية وكافة احجام العينة

Kummer Beta Generalized	Sample Sizes	Initial Values	Capabilities (MLE)	Capabilities (GA)	Classic Mse (MLE)	IMSE
					Genetic Mse (GA)	
			$= 0.000129850770232\hat{a}$ $\hat{b} = -$ 0.021253529554564	$= -\hat{a}$ 0.001329023174519 $\hat{b} = -$	8.664451382600624 e-07	12.60



	N=20		$= -\hat{c}$ 0.000899768531761 $\hat{p} = -$ 0.008404648481332 $\hat{\lambda} =$ 0.001404846967151 $= -\hat{d}$ 0.003603523403757	94 $= \hat{c}$ 0.000457198424420 $\hat{p} = -$ 0.000489826616648 $\hat{\lambda} = 0.0001611050394$ 94 $= -\hat{d}$ 0.000565548663355	0.0002893142249 1.682998032429297 $e-05$	32.84
	N=50		$=0.000017155844787\hat{a}$ $= -\hat{b}$ 0.003299094805487 $= -\hat{c}$ 0.000345696420667 $\hat{p} = -$ 0.001369757223252 $\hat{\lambda} =$ 0.000669941798236 $= -0.001279512589953\hat{d}$	$1.0e-03 *$ $= -\hat{a}$ 0.608836426179275 $= -\hat{b}$ 0.1515123232711 $= -\hat{c}$ 0.486503815182600 $= -\hat{p}$ 0.303091961802889 $= \hat{\lambda}$ 0.085457285523136 $= -\hat{d}$ 0.280028694158074	1.175149540761217 $e-06$ 2.521312562760709 $e-05$	9.478 13.35



	N=90	$\hat{b} = 0.000005860003074\hat{a}$ $\hat{b} = -0.00238053529644$ $\hat{c} = -\hat{c}$ $\hat{c} = 0.000174158089077$ $\hat{p} = -0.000973155408172$ $\hat{\lambda} = 0.000346808024657$ $\hat{d} = -0.000748379985598\hat{d}$	$1.0e-03 *$ $= -\hat{a}$ $= 0.311517419426260$ $\hat{b} = -$ $\hat{b} = 0.082549809088553$ $= \hat{c}$ $= 0.872111720786455$ $\hat{p} = -$ $\hat{p} = 0.180007361350503$ $\hat{\lambda} = 0.046844170905842$ $= -\hat{d}$ $= 0.148129476423863$	5.773123638040914 $e-08$ 2.438654234416248 $e-07$	3.743
	N=250	$1.0e-03 *$ $= 0.000694230088355\hat{a}$ $\hat{b} = -0.632571335024386$	$1.0e-03 *$ $= -\hat{a}$ $= 0.187753861866594$ $\hat{b} = -$ $\hat{b} = 0.0427255211753$	1.334992712819586 $e-08$	3.586



		$= -\hat{c}$ 0.063671761969198 $\hat{p} = -$ 0.261417727638084 $\hat{\lambda} = 0.135821599681673$ $= -0.255141548079739\hat{d}$	98 $= \hat{c}$ 0.100990067836081 $\hat{p} = -$ 0.079525887588207 $\hat{\lambda} = 0.0245406989924$ 36 $= -\hat{d}$ 0.079241576001341	2.975723274528485 e-07	2.625
--	--	---	--	---------------------------	-------

الجدول (7-3) يوضح الأنماذج الخامس متواسط مربعات الخطأ (MSE) لمقدرات معالم دالة الكثافة الأحتمالية (PDF) ومتوسط مربعات الخطأ التكامل (IMSE) لدالة المخاطرة للتوزيع (KBGWD) باستعمال الطرائق الاعتيادية والجينية وكافة أحجام العينة

Kummer Beta Generalized Weibull Geometric Distribution	Sam ple Sizes	Initi al Val ues	Capabilities (MLE)	Capabilities (GA)	Classic Mse (MLE)	IMSE (MLE)
					Genetic Mse (GA)	IMSE (GA)
	N=20	a=2 b=3 c=-2 p=0	$= -0.000297907261197\hat{a}$ $\hat{b} = 0.000000000000000$ $= 0.000002614008388 \hat{c}$ $\hat{p} = -0.005261035768211$ $\hat{\lambda} = 0.000010287624684$ $= 0.008367194481736\hat{d}$	$= -\hat{a}$ 0.001329023174519 $\hat{b} = -$ 0.00028931422499 $= \hat{c}$ 0.000457198424420 $\hat{p} = -$ 0.000489826616648 $\hat{\lambda} = 0.000161105039494$ $= -\hat{d}$ 0.000565548663355	2.810392752199807e-05 1.682998032429297e-05	12.4800104837478 70 32.8440408189317 52



	N=50	d=5	$\lambda=1.5$	= -0.000066717384054 \hat{a} = 0.00000000000 \hat{b} = \hat{c} 0.000000343416485 $\hat{p} = -0.000961049908371$ $\hat{\lambda} = 0.000001494846086$ = 0.004564467209482 \hat{d}	1.0e-03 * = - \hat{a} 0.608836426179275 = - \hat{b} 0.15151232327116 1 = \hat{c} 0.486503815182600 = - \hat{p} 0.303091961802889 = $\hat{\lambda}$ 0.085457285523136 = - \hat{d} 0.280028694158074	6.527232090056097e-3 1.175149540761217e-06	9.37156894066519 4
			N=90	= - \hat{a} 0.000019182700259 $\hat{b} = 0.000000000000000$ = \hat{c} 0.000000342536543 $\hat{p} = -0.000618736331407$ $\hat{\lambda} = 0.000001477342779$ = 0.002347398186177 \hat{d}	1.0e-03 * = - \hat{a} 0.311517419426260 $\hat{b} = 0.082549809088$ 553 = \hat{c} 0.872111720786455 $\hat{p} = -$ 0.180007361350503 $\hat{\lambda} = 0.046844170905842$ = - \hat{d} 0.148129476423863	1.896133074829525e-06 2.438654234416248e-07	3.70929186707533 2
			N=250	1.0e-03 * = - \hat{a} 0.002871678158269	1.0e-03 * = - \hat{a} 0.187753861866594	6.520386396084150e-07	3.56795364608334 8



			$\hat{b}=0.000000000000000$ $=\hat{c}$ 0.000070117381411	$\hat{b}=0.042725521175$ 398 $=\hat{c}$ 0.100990067836081	$2.975723274528485e-07$ $\hat{p}=-$ 0.079525887588207	2.625013975724970 $\hat{\lambda}=0.024540698992436$ $=-\hat{d}$ 0.079241576001341
--	--	--	--	--	---	--

الجدول (8-3) يوضح الأنماذج السادس متوسط مربعات الخطأ (MSE) لمقدرات معالم دالة الكثافة الاحتمالية (PDF) ومتوسط مربعات الخطأ التكاملي (IMSE) لدالة المخاطرة للتوزيع (KBGWGD) باستعمال الطرائق الاعتيادية والجنبية وكافة أحجام العينة

Kummer Beta Generalized Weibull Geometric Distribution	Sample Sizes	Initial Values	Capabilities (MLE)	Capabilities (GA)	Classic Mse (MLE)	IMSE (MLE)
					Genetic Mse (GA)	IMSE (GA)
N=20	a=2		$\hat{a} = 0.000379082400630$	$= -\hat{a}$ 0.001329023174519	3.744329428019184e-05	12.505075565803146
			$\hat{b} = 0.170176632554281$	$\hat{b} = -0.000289314224994$		
			$\hat{c} = 0.009145728736034$	$= \hat{c}$ 0.000457198424420		
			$\hat{p} = 0.197381432375835$	$\hat{p} = -0.000489826616648$		
			$\hat{\lambda} = 0.001339999614721$	$\hat{\lambda} = 0.000161105039494$		
	$\lambda = 1.5$		$= -\hat{d}$ 0.017632503421576	$= -\hat{d}$ 0.000565548663355	1.682998032429297e-05	32.844040818931752



		d=5	$=0.00003932350\hat{a}$ 6417 $=-\hat{b}$ 0.0138962657235 64 $=0.00300875321\hat{c}$ 0417 $\hat{p} = -$ 0.0054869636141 46 $\hat{\lambda} =$ 0.0006601745848 96 $=-\hat{d}$ 0.0055793495384 08	$1.0e-03 *$ $= -\hat{a}$ 0.608836426179 275 $= -\hat{b}$ 0.1515123232 71161 $= \hat{c}$ 0.486503815182 600 $= -\hat{p}$ 0.303091961802 889 $= \hat{\lambda}$ 0.085457285523 136 $= -\hat{d}$ 0.280028694158 074	8.0666692233 $06810e-06$ 1.1751495407 $61217e-06$	9.3808131852 21619 13.351577944 297981
	N=90		$= \hat{a}$ 0.0000151554523 35 $\hat{b} = -$ 0.01008748083 6882 $= \hat{c}$ 0.0024729964817 08 $\hat{p} = -$ 0.0037451657519 03 $\hat{\lambda} =$ 0.0003398292584 54 $= -\hat{d}$ 0.0032946383370 82	$1.0e-03 *$ $= -\hat{a}$ 0.311517419426 260 $\hat{b} = -$ 0.0825498090 88553 $= \hat{c}$ 0.872111720786 455 $\hat{p} = -$ 0.180007361350 503 $\hat{\lambda} = 0.0468441709$ 05842 $= -\hat{d}$ 0.148129476423 863	5.6723439241 $40211e-07$ 2.4386542344 $16248e-07$	3.7147593422 59858 7.2404150591 92606



	N=250	$= \hat{a}$ 0.000016114178 04 $\hat{b} = -$ 0.00231799171 0416 $= \hat{c}$ 0.0006945120174 24 $\hat{p} = -$ 0.0009448574492 65 $\hat{\lambda} = 0.00013481415$ 1016 $= -\hat{d}$ 0.0010867947424 31	$1.0e-03 *$ 0.187753861866 594 $\hat{b} = -$ 0.0427255211 75398 $= 0.1009900678\hat{c}$ 36081 $\hat{p} = -$ 0.079525887588 207 $\hat{\lambda} =$ 0.024540698992 436 $= -\hat{d}$ 0.079241576001 341	2.9757232745 $28485e-07$ 1.8332198649 $76788e-09$	3.5703088441 59596 2.6250139757 24970
--	-------	---	---	--	--

الجانب التطبيقي

في هذا المبحث سوف يتم عرض نتائج الجانب التطبيقي ومن ثم تحليلها للوصول الى مدى ملائمة البيانات الحقيقية مع توزيع كومر بيتا المعتم (KBGND) من خلال اجراء الاختبارات الخاصة بمقدرات التوزيع. حيث سيتم استعمال طريقة الامكان الأعظم الاعتيادية (MLE) للتقدير وذلك لأن نتائج المحاكاة اظهرت أفضليتها

4-4 توزيع كومر بيتا وبيل الهندسي المعتم (KBGWD) (PDF) ودالة المخاطرة لتوزيع (KBGWD) باستعمال طريقة الامكان الأعظم المحسنة (MLE. GA).

1-1-4 وصف البيانات

تم جمع بيانات حقيقة بحجم (150) مدرسة ابتدائية تابعة لمديرية تربية بغداد الرصافة الثالثة وتمثل هذه البيانات نسب نجاح هذه المدارس.

2-1-4 اختبار حسن مطابقة البيانات

تم استعمال اختبار سميرنوف كولمكروف (Kolmogorov Smirnov test) لاختبار جسن مطابقة البيانات وذلك من خلال برنامج كتب بلغة الماتلاب ، وكانت النتائج كما موضحة في أدناه :

Ho: البيانات تتوزع توزيع كومر بيتا وبيل الهندسي المعتم
H1: البيانات لا تتوزع توزيع كومر بيتا وبيل الهندسي المعتم

$$D = 1.554997$$

$$\text{Tab value} = 1.784853527468594e+02$$

القيمة الجدولية أكبر من القيمة المحسوبة هذا يعني رفض الفرضية البديلة وقبول فرضية العدم وان البيانات تتوزع توزيع كومر بيتا وبيل الهندسي.

جدول رقم (4-1) تقدير معالم توزيع كومر بيتا وبيل المعتم لبيانات نسب النجاح

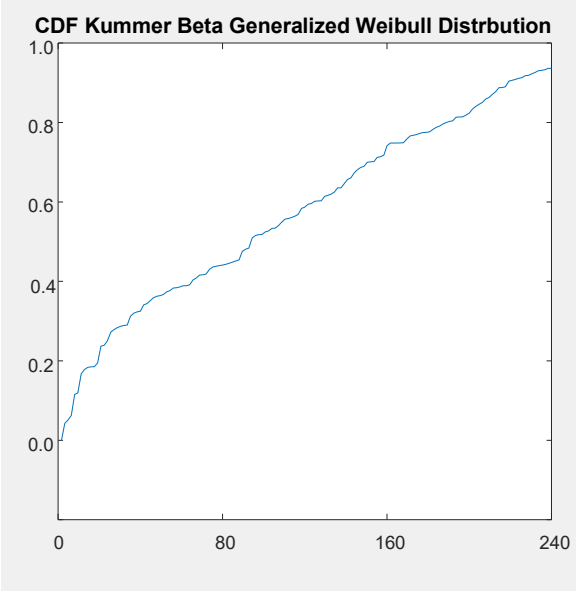


Estimated Parameter s	MLE	Var (KN)	MLE (GA)	Var (KN) GA
\hat{a}	1.0e-03 * -0.1654436162101		-0.00008755543	
\hat{b}	1.0e-03 * 0.0993788171633 9	10.09062478057 6	0.00131786691	6.19338427813
\hat{c}	1.0e-03 * 0.3387373277488 0	Var (H)	0.001664192620	Var (H) GA
\hat{P}	1.0e-03 * 0.1233553493090 9		-0.00043979187	
$\hat{\lambda}$	1.0e-03 * 0.0087907595942 9	10.09009924425 9	0.000008353320	6.19285874181
\hat{d}	1.0e-03 * 0.1243555782114 3		-0.00016477852	

Var (KN): هو تباين دالة (pdf) لتوزيع كومر بيتا وبيل الهندسي المعمم بالطريقة الاعتيادية MLE .
Var (H): هو تباين دالة معدل الخطورة (Hazard Rate) لتوزيع كومر بيتا وبيل الهندسي المعمم بالطريقة الاعتيادية MLE .

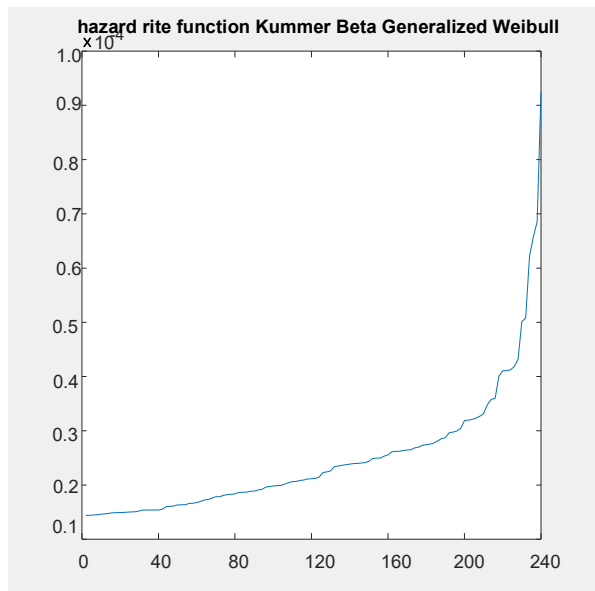
Var (KN) GA: هو تباين دالة (pdf) لتوزيع كومر بيتا وبيل الهندسي المعمم بالطريقة الجينية GA .
Var (H) GA: هو تباين دالة معدل الخطورة (Hazard Rate) لتوزيع كومر بيتا وبيل الهندسي المعمم بالطريقة الجينية GA . MLE .

من خلال الفرضية أعلاه يتضح لنا بان البيانات تتبع توزيع كومر بيتا وبيل المعمم (KBGWD) ، ومن خلال الجانب التجاربي اظهرت نتائج المحاكاة بان طريقة الامكان الأعظم المحسنة هي الأفضل في حالة حساب نسب النجاح للمدارس الابتدائية ، لذلك تم استعمال هذا الطريقة لتقدير المعالم (a, b, c, P, λ , d) وكما موضح في الجدول رقم (4-1) ، وتم تقدير دالة المخاطرة وكما موضح في ملحق رقم (1) توزيع كومر بيتا المعمم ويوضح الشكل رقم (4-2) سلوك دالة المخاطرة بأنها متزايدة كلما زادت قيمة (X) .



الشكل

الشكل رقم (4-2)



(4-1) رقم

- 1-5 الاستنتاجات (Conclusion)**
بناءً على ما تم استخراجه من تجارب المحاكاة وما تم تحليله من نتائج في الجانب التجريبي وكذلك الجانب التطبيقي فقد تم التوصل إلى الاستنتاجات الآتية:
١. اظهرت نتائج المحاكاة بان طريقة الامكان الاعظم المحسنة (MLE. GA) هي الأفضل لتقدير معلمات توزيع (KBGWD).
بأستعمال معيار المقارنة متوسط مربعات الخطأ (MSE).
 ٢. اظهرت نتائج المحاكاة ان طريقة الامكان الاعظم المحسنة (MLE. GA) هي الأفضل في تقدير دالة المخاطرة بأستعمال معيار المقارنة متوسط مربعات الخطأ التكاملی (IMSE).
 ٣. ان تأثير زيادة حجم العينة يؤدي إلى تناقص في (MSE).



٤. أظهر الجانب التطبيقي بان بيانات نسب النجاح للمدارس الابتدائية التي تم جمعها من مديرية تربية بغداد الرصافة الثالثة تتبع توزيع (KBGWGD).
٥. أظهر الجانب التطبيقي بان دالة المخاطرة متزايدة أي ان ازدياد فترة بقاء نسب النجاح للمدارس الابتدائية يتعرض الى معدل فشل أكبر نتيجة فترة البقاء التي تتناقص.
٦. تم توظيف الخوارزمية الجينية لتحسين مقدرات توزيع كومر بينا وبيل الهندسي المعمم من خلال مقياس MSE لكافة النماذج وحجوم العينات.

(Recommendations and Studies Future)

١. نوصي باعتماد طريقة (MEL. GA) المحسنة لتقدير معلمات أنموذج كومر بينا وبيل المعمم.
٢. اختبار مدى ملائمة الخوارزمية الجينية في تقدير أنموذج كومر بينا المعمم مع توزيعات أخرى.
٣. نوصي باستعمال طائق تقدير أخرى مثل طائق التقدير الحصينة او العزوم المربعات الصغرى ، مربع كاي بدلاً من طريقة الامكان الاعظم وخوارزميات أخرى مثل خوارزمية النمل ، الطيور وغيرها من الخوارزميات.
٤. استعمال طائق أخرى لتقدير معلمات نماذج كومر بينا المعمم(KBGD) ومقارنتها مع الطريقتين المدروستين في هذا البحث بغية التوصل إلى الطريقة الأفضل.

المصادر العربية :

- [1] السبعاوي , احمد محمود ، وخليل ، زيدون مهند, (٢٠١٤), "اقتراح خوارزمية مهمنة عن طريق ربط الخوارزمية الجينية وخوارزمية محاكاة تلدين لحل مسائل التخصيص التربوية" ، المجلة المصادر الاجنبية :
- [2] Ashoura,K. ,S. ,(2014)," Kummer Beta -Weibull Geometric Distributio A New Generalization of Beta -Weibull Geometric Distribution ", ISSN, pp. 258-272.
- [3] Akkus ,Ö. , Demir , E. , (2016), " Comparison Som Classical And Meta-Heuristic Optimazation Techniques in The Estimation Of The Logit Model Parameters" , IJAR, pp.1026-1042.
- [4] Cordeiro, M.,(2014)," The Kummer Beta Generalized Gamma Distribution ", Journal of data science, pp. 1-27.
- [5] Demir , E. , Akkus , Ö., (2015), " An Introductory Study on How the Genetic Algorithm Works in the Parameter Estimation of Binary Logit Model", IJS:BAR, pp.162-180.
- [6] Daskalov, Ivan " ,,(2005), " Genetic Algorithms for a Parameter Estimation of a Fermentation Process Model: A Comparison" Bulgarian Academy of Sciences 105 Acad. G. Bonchev Str., Sofia 1113, Bulgaria pp.19-28.
- [7] Goldberg ,D. E.,(1989) ,"Genetic Algorithms in Search , Optimization and Machine Learning", AWPC, Reading, MA.
- [8] Hadji, S. & et al. ,(2015)," Theoretical and experimental analysis of genetic algorithms based mppt for PV systems", ELSEVIER, pp. 772-787.
- [9] Lee, K.H., Kim, K.W.,(2015),"Performance comparisons of particle swarm optimization and genetic algorithm for inverse surface radiation problem", ELSEVIER, PP. 330-337.
- [10] Meng ,Q., Weng, J., (2011) , "Agenetic Algorithm approach To assessing Work Zonecasualty Risk" , ELSEVIER , pp. 1283-1288.
- [11] Misra, A. ,(2013)," Portfolio optimization of commercial Banks- An Application of Genetic Algorithm", EJBM, pp. 120-129.

*الرسم من عمل الباحث



- [12] Pescim, R.,(2012)," **The new class of Kummer beta generalized distributions**", SORT, pp. 154-159.
- [13] Raghupathikumar, D., & Raja, K., (2012)," **genetic algorithm based scheduling of an input queued switch**",IJCA, pp.37-42.
- [14] Sastry K., & Goldberg .D., (2005), "**Genetic Algorithm**", USA, Retrieved from Internet: www.citeSeerX.ist.psu.edu/viewdoc/download?doi=i0.1.1.61.6575&rep=rep&type=pdf.
- [15] Yoder, S. E., (2009)," **An Investigation on the use and flcxibility of Genetic Algorithm for Logistic Regression**", Clemson University , TP, pp. 1-77

ملحق رقم (1) نتائج معدل الخطورة لنوزيع كومر بينا وبين الهندسي المعمم (KBGWD)

HX	HX(GA)	HX	HX(GA)	HX	HX(GA)
0.000000219658 583	0.000163878483 660	0.000000415663 823	0.000053856858 416	0.000000932108 550	0.000081571243 539
0.000000219865 183	0.000145999107 779	0.000000444931 952	0.000037260665 665	0.000000958702 702	0.000104414326 864
0.000000223999 922	0.000152837009 913	0.000000459811 035	0.000181227755 859	0.000000970666 587	0.000117858428 568
0.000000226056 849	0.000150283151 747	0.000000473490 021	0.000101549095 048	0.000001048741 420	0.000183411081 772
0.000000228012 923	0.000188185285 849	0.000000475007 110	0.000142944179 772	0.000001053410 238	0.000129744179 193
0.000000233582 726	0.000184955908 165	0.000000475794 975	0.000179447472 802	0.000001060836 098	0.000088821032 150
0.000000238311 387	0.000152883485 408	0.000000506000 298	0.000024056751 222	0.000001146875 799	0.000111107757 576
0.000000244247 710	0.000004463638 859	0.000000512011 698	0.000025892727 703	0.000000745920 477	0.000189285077 453
0.000000245207 737	0.000094131964 379	0.000000520962 925	0.000162243023 998	0.000000746350 548	0.000014984057 144
0.000000252823 472	0.000030525001 714	0.000000534659 588	0.000070957003 740	0.000000783782 619	0.000180569537 386
0.000000255680 791	0.000174185486 373	0.000000554632 294	0.000042998926 627	0.000001170451 978	0.000048671746 133
0.000000259677 172	0.000147303033 123	0.000000566007 765	0.000157004243 581	0.000001225073 090	0.000041032700 679
0.000000263447 432	0.000188472744 766	0.000000585562 466	0.000048068874 311	0.000001302902 012	0.000189187150 277
0.000000266735 133	0.000163129621 051	0.000000610583 822	0.000087296139 770	0.000001434686 182	0.000174183249 534
0.000000290908 996	0.000186837769 083	0.000000617676 466	0.000103945905 828	0.000001476914 779	0.000118790286 573
0.000000294616 465	0.000185327359 495	0.000000619887 666	0.000067388348 554	0.000001607250 847	0.000140761353 281
0.000000295533 773	0.000183581664 411	0.000000627170 869	0.000026142793 075	0.000001749619 282	0.000174599740 603
0.000000314119 422	0.000102427022 472	0.000000641422 753	0.000136384505 707	0.000001750912 187	0.000144677821 971
0.000000328744 383	0.000173912592 148	0.000000650575 947	0.000090202013 937	0.000001901099 541	0.000120421850 254
0.000000344430 879	0.000159953905 992	0.000000658168 083	0.000166581992 727	0.000001984390 791	0.000143615714 013



0.000000353423 287	0.000125296742 399	0.000000695634 049	0.000105735303 128	0.000002034726 906	0.000188499369 276
0.000000372622 615	0.000129292441 456	0.000000742976 360	0.000123541537 681	0.000002077878 713	0.000176859850 199
0.000000383876 014	0.000057240018 923	0.000000744270 705	0.000137054327 412	0.000002277526 808	0.000177479216 007
0.000000397838 880	0.000116057344 498	0.000000745173 638	0.000137065054 347	0.000002285739 439	0.000179537914 494

(KBGWGD) ملحق نتائج معدل الخطورة لتوزيع كومر بينا وبين الهندسي المعمم

HX	HX(GA)	HX	HX(GA)
0.000002304189275	0.000178111885957	0.000035720603536	0.000189007777954
0.000002411520179	0.000186840470836	0.000038858019719	0.000040269502676
0.000002452091573	0.000174387016269	0.000050303515295	0.000143479781158
0.000002611116326	0.000187319446280	0.000051014856334	0.000188432283054
0.000002675986498	0.000165733068113	0.000052194389325	0.000166585044023
0.000003047164803	0.000188939749989	0.000054444393958	0.000186946951559
0.000003159065168	0.000111803578207	0.000057621662442	0.000189228963287
0.000003257214519	0.000009741675296	0.000062272447963	0.000112212664213
0.000003331467769	0.000110656640621	0.000080556587545	0.000162700295599
0.000003368607898	0.000111525778844	0.000093021998393	0.000124554265536
0.000003603371359	0.000067416367913	0.000095536555427	0.000186049236403
0.000017832451569	0.000035771160054	0.000163107437340	0.000053463191498
0.000019189042340	0.000138813847932	0.000184067771833	0.000151308483628
0.000019772332422	0.000182587228216	0.000184515838366	0.000139075123779
0.000021263302018	0.000083108198071	0.000187888265575	0.000187798383446
0.000021874640368	0.000040237997592	0.000201182496818	0.000182591166104
0.000022279805887	0.000189250534103	0.000232884549073	0.000178172369426
0.000023162440346	0.000163153081295	0.000440575921287	0.000110673995181
0.000025143722953	0.000111965776758	0.000465396264576	0.000024361415055
0.000027251084601	0.000186088981941	0.000938089536666	0.000146554016260
0.000028302042094	0.000180821680939	0.001092079637764	0.000040387531467
0.000033740265063	0.000125129937596	0.001209000154965	0.000186546536097
0.000034474475831	0.000031816023542	0.001809306368862	0.000084146548663